Teorema da Divergência de Gauss

É possível transformar as integrais triplas em integrais de superfície sobre a superfície de contorno de uma região no espaço, e vice-versa. Essa transformação é de interesse prático, pois frequentemente ocorre que um dos dois tipos de integral é mais simples que o outro. E esse procedimento também ajuda na obtenção de equações fundamentais que regem o escoamento de fluidos, a condução térmica etc., conforme veremos. A transformação é realizada pelo teorema da divergência, que envolve o **divergente** de uma função vetorial $\mathbf{F} = [F_1, F_2, F_3] =$ $F_1\mathbf{i} + F_2\mathbf{j} + F_3\mathbf{k}$, a saber,

(1)
$$\operatorname{div} \mathbf{F} = \frac{\partial F_1}{\partial x} + \frac{\partial F_2}{\partial y} + \frac{\partial F_3}{\partial z}$$
 (Seção 9.8).

TEOREMA 1

Teorema da Divergência de Gauss

(Transformação entre uma Integral Tripla e uma de Superfície)

Consideremos que T seja uma região fechada e limitada no espaço cujo contorno seja uma superfície suave por intervalos e orientável S. Consideremos também que $\mathbf{F}(x, y, z)$ seja uma função vetorial contínua e com derivadas parciais primeiras contínuas em algum domínio contendo T. Então,

$$\iiint_T \operatorname{div} \mathbf{F} \ dV = \iint_S \mathbf{F} \cdot \mathbf{n} \ dA.$$

Em componentes de $\mathbf{F} = [F_1, F_2, F_3]$ e de um vetor normal unitário exterior $\mathbf{n} = [\cos \alpha, \cos \beta, \cos \gamma]$ de S (como na Fig. 250), a fórmula (2) torna-se

$$\iiint_{T} \left(\frac{\partial F_{1}}{\partial x} + \frac{\partial F_{2}}{\partial y} + \frac{\partial F_{3}}{\partial z} \right) dx dy dz$$

$$= \iint_{S} (F_{1} \cos \alpha + F_{2} \cos \beta + F_{3} \cos \gamma) dA$$

$$= \iint_{S} (F_{1} dy dz + F_{2} dz dx + F_{3} dx dy).$$

A prova disso será apresentada após o Exemplo 1. A explicação da expressão "região limitada e fechada" foi dada anteriormente, de "suave por intervalos e orientável" foi fornecida na Seção 10.5, e de "domínio contendo T', na nota de rodapé 4 da Seção 10.4, referente ao caso bidimensional.

EXEMPLO 1 Cálculo do Valor de uma Integral de Superfície pelo Teorema da Divergência

Antes de provarmos o teorema, mostremos uma aplicação usual dele. Calculemos o valor de

$$I = \iint_{S} (x^{3} dy dz + x^{2}y dz dx + x^{2}z dx dy)$$

onde S é a superfície fechada na Fig. 249, consistindo no cilindro $x^2 + y^2 = a^2$ ($0 \le z \le b$) e nos discos circulares z = 0 e z = b (z = b) e nos discos circulares z = 0 e z = b (z = b)

Solução. $F_1 = x^3$, $F_2 = x^2y$, $F_3 = x^2z$. Logo, div $\mathbf{F} = 3x^2 + x^2 + x^2 = 5x^2$. A forma da superfície sugere que introduzamos as coordenadas polares r, θ definidas por $x = r \cos \theta$, $y = r \sin \theta$ (portanto, as coordenadas cilíndricas r, θ , z). Então, o elemento de volume é dx dy dz = r $dr d\theta dz$, e obtemos

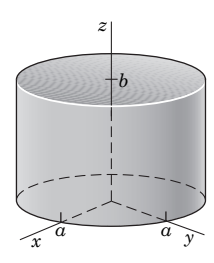


Fig. 249. Superfície S do Exemplo 1

$$I = \iiint_{T} 5x^{2} dx dy dz = \int_{z=0}^{b} \int_{\theta=0}^{2\pi} \int_{r=0}^{a} (5r^{2} \cos^{2} \theta) r dr d\theta dz$$
$$= 5 \int_{z=0}^{b} \int_{\theta=0}^{2\pi} \frac{a^{4}}{4} \cos^{2} \theta d\theta dz = 5 \int_{z=0}^{b} \frac{a^{4} \pi}{4} dz = \frac{5\pi}{4} a^{4} b.$$

PROVA Provemos o teorema da divergência, começando com a primeira equação em (2*). Essa equação é verdadeira se e somente se as integrais de cada componente em ambos os lados forem iguais; isto é,

(3)
$$\iint_{T} \frac{\partial F_{1}}{\partial x} dx dy dz = \iint_{S} F_{1} \cos \alpha dA,$$

(4)
$$\iiint_{T} \frac{\partial F_{2}}{\partial y} dx dy dz = \iint_{S} F_{2} \cos \beta dA,$$

(5)
$$\iint_{T} \frac{\partial F_{3}}{\partial z} dx dy dz = \iint_{S} F_{3} \cos \gamma dA.$$

Primeiramente provemos (5) para uma *região especial* T que seja limitada por uma superfície S orientável e suave por intervalos e que tenha a propriedade segundo a qual qualquer reta paralela a qualquer um dos eixos coordenados e interceptando T possui no máximo um segmento de reta (ou um único ponto) em comum com T. Isso implica que T pode ser representada na forma

(6)
$$g(x, y) \le z \le h(x, y)$$

onde (x, y) varia na projeção ortogonal \overline{R} de T no plano xy. Obviamente, z = g(x, y) representa o "fundo" S_2 de S (Fig. 250), enquanto z = h(x, y) representa o "topo" S_1 de S_2 , podendo haver uma porção vertical restante S_3 de S_2 . (Essa porção S_3 pode degenerar-se em uma curva, como ocorre no caso de uma esfera.)

Para provarmos (5), usamos (6). Como F é continuamente derivável em algum domínio contendo T, temos

(7)
$$\iiint_{T} \frac{\partial F_{3}}{\partial z} dx dy dz = \iint_{\overline{R}} \left[\int_{g(x, y)}^{h(x, y)} \frac{\partial F_{3}}{\partial z} dz \right] dx dy.$$

A integração da integral interna $[\cdot \cdot \cdot]$ fornece $F_3[x, y, h(x, y)] - F_3[x, y, g(x, y)]$. Logo, a integral tripla em (7) é igual a

(8)
$$\iint_{\overline{R}} F_3[x, y, h(x, y)] dx dy - \iint_{\overline{R}} F_3[x, y, g(x, y)] dx dy.$$

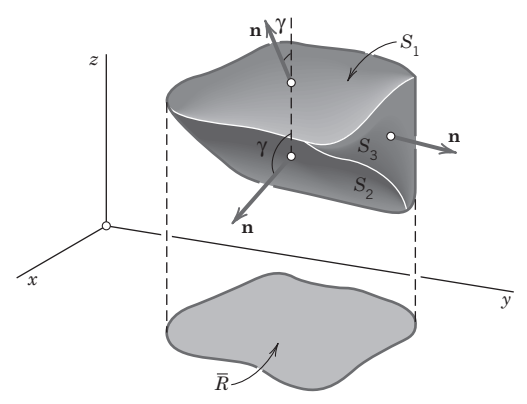


Fig. 250. Exemplo de uma região especial

Mas também obtemos esse mesmo resultado quando calculamos o valor do lado direito de (5); ou seja, [veja também a última linha de (2*)],

$$\iint_{S} F_{3} \cos \gamma \, dA = \iint_{S} F_{3} \, dx \, dy$$

$$= + \iint_{\bar{R}} F_{3}[x, y, h(x, y)] \, dx \, dy - \iint_{\bar{R}} F_{3}[x, y, g(x, y)] \, dx \, dy,$$

onde a primeira integral sobre \overline{R} fica com um sinal positivo porque cos $\gamma > 0$ em S_1 na Fig. 250 [como em (5''), veja a Seção 10.6] e a segunda integral fica com um sinal negativo porque cos $\gamma < 0$ em S_2 . Isso prova (5).

As relações (3) e (4) agora são simples consequências disso, sendo obtidas simplesmente renomeando-se as variáveis e usando-se o fato de que, por suposição, *T* possui representações similares a (6), a saber,

$$\widetilde{g}(y, z) \le x \le \widetilde{h}(y, z)$$
 e $\widetilde{\widetilde{g}}(z, x) \le y \le \widetilde{\widetilde{h}}(z, x)$.

Isso prova a primeira equação em (2*) para regiões especiais. E também implica que (2), devido ao lado esquerdo de (2*), é precisamente a definição da divergência, e que os lados direitos de (2) e da primeira equação em (2*) são iguais, conforme se demonstrou na primeira linha de (4) na última seção. Finalmente, a igualdade dos lados direitos de (2) e (2*), na última linha, é explicada por (5) da última seção.

Isso estabelece o teorema da divergência para regiões especiais.

Para uma região T qualquer que possa ser subdividida em um número finito de regiões especiais com o uso de superfícies auxiliares, provamos o teorema ao somarmos os resultados de cada parte separadamente; esse procedimento é análogo ao utilizado na prova do teorema de Green na Seção 10.4. As integrais de superfície tomadas sobre as superfícies auxiliares cancelam-se aos pares, e a soma das integrais de superfície restantes é a integral de superfície sobre a totalidade da superfície de contorno S de T; as integrais triplas calculadas sobre as partes de T dão uma soma que corresponde à integral tripla sobre T.

O teorema da divergência fica então provado para qualquer região limitada que seja de interesse nos problemas práticos. A extensão para uma região *T* mais geral, do tipo indicado no teorema, exigiria um certo processo de limite, sendo similar ao caso do teorema de Green visto na Seção 10.4.

EXEMPLO 2 Verificação do Teorema da Divergência

Calcule o valor de $\int_{C} \int (7x\mathbf{i} - z\mathbf{k}) \cdot \mathbf{n} \, dA$ sobre a esfera S: $x^2 + y^2 + z^2 = 4$ (a) usando (2), (b) diretamente.

Solução. (a) div $\mathbf{F} = \text{div } [7x, 0, -z] = \text{div } [7x\mathbf{i} - z\mathbf{k}] = 7 - 1 = 6$. Resposta: $6 \cdot (4/3)\pi \cdot 2^3 = 64\pi$.

(b) Podemos representar S por (3) da Seção 10.5 (com a = 2) e usaremos \mathbf{n} $dA = \mathbf{N}$ du dv [veja (3*) da Seção 10.6]. Dessa forma,

S: $\mathbf{r} = [2 \cos v \cos u, 2 \cos v \sin u, 2 \sin v].$ Então, $\mathbf{r}_u = [-2 \cos v \sin u, 2 \cos v \cos u, 0]$ $\mathbf{r}_v = [-2 \sin v \cos u, -2 \sin v \sin u, 2 \cos v]$ $\mathbf{N} = \mathbf{r}_v \times \mathbf{r}_v = [4 \cos^2 v \cos u, 4 \cos^2 v \sin u, 4 \cos v \sin v]$

Ora, em S, temos $x = 2 \cos v \cos u$, $z = 2 \sin v$, de modo que $\mathbf{F} = [7x, 0, -z]$ torna-se, em S,

 $\mathbf{F}(S) = [14 \cos v \cos u, \quad 0, \quad -2 \operatorname{sen} v]$ $\mathbf{F}(S) \cdot \mathbf{N} = (14 \cos v \cos u) \cdot 4 \cos^2 v \cos u + (-2 \operatorname{sen} v) \cdot 4 \cos v \operatorname{sen} v$ $= 56 \cos^3 v \cos^2 u - 8 \cos v \operatorname{sen}^2 v.$

Em S temos que fazer a integração em u de 0 a 2π . Isso fornece

$$\pi \cdot 56 \cos^3 v - 2\pi \cdot 8 \cos v \sin^2 v.$$

A integral de cos v sen² v é igual a (sen³ v)/3, e a integral de cos³ v = cos v (1 – sen² v) é igual a sen v – (sen³ v)/3. Em S, temos $-\pi/2 \le v \le \pi/2$, de modo que, substituindo esses limites, obtemos

$$56\pi(2-2/3) - 16\pi \cdot 2/3 = 64\pi$$

como era esperado. Para ver a importância do teorema de Gauss, compare a quantidade de trabalho anterior com a que tivemos agora.

O Divergente e a Invariância de Coordenadas. A divergência (1) foi definida em termos de coordenadas, mas podemos usar o teorema da divergência para mostrar o fato de que div **F** tem um significado independente das coordenadas.

Para este propósito, primeiramente notemos que as integrais triplas têm propriedades muito semelhantes às das integrais duplas na Seção 10.3. Particularmente, o **teorema do valor médio para integrais triplas** estabelece que para qualquer função contínua f(x, y, z) numa região limitada e simplesmente conectada T há um ponto Q: (x_0, y_0, z_0) em T tal que

(9)
$$\iint_T f(x, y, z) \ dV = f(x_0, y_0, z_0)V(T)$$
 (V(T) = volume de T).

Nesta fórmula, trocamos os dois lados, dividimos por (V(T)) e fazemos $f = \text{div } \mathbf{F}$. Então, pelo teorema da divergência, esta última corresponde a uma integral sobre a superfície de contorno S(T) de T,

(10)
$$\operatorname{div} \mathbf{F}(x_0, y_0, z_0) = \frac{1}{V(T)} \iiint_T \operatorname{div} \mathbf{F} dV = \frac{1}{V(T)} \iint_{S(T)} \mathbf{F} \cdot \mathbf{n} dA.$$

Agora escolhemos um ponto $P: (x_1, y_1, z_1)$ em T e fazemos T encolher em torno de P de modo que a distância máxima d(T) entre os pontos de T e P vai a zero. Então, $Q: (x_0, y_0, z_0)$ deve aproximar-se de P. Logo, (10) torna-se

$$\operatorname{div} \mathbf{F}(P) = \lim_{d(T) \to 0} \frac{1}{V(T)} \iint_{S(T)} \mathbf{F} \cdot \mathbf{n} \, dA.$$

Isso prova o

TEOREMA 2

Invariância da Divergência

A divergência de uma função vetorial **F** com derivadas parciais primeiras contínuas em uma região T independe da escolha particular das coordenadas cartesianas. Para quaisquer P em T, ela é dada por (11).

A Equação (11) é às vezes usada como uma *definição* da divergência. Então a representação (1) em coordenadas cartesianas pode ser obtida a partir de (11).

Aplicações adicionais sobre o teorema da divergência são fornecidas nos problemas propostos e na seção seguinte, cujos exemplos esclarecerão mais a natureza da divergência.

PROBLEMAS PROPOSTOS 10.7

1–8 APLICAÇÃO DAS INTEGRAIS TRIPLAS: DISTRIBUIÇÃO DE MASSA

Encontre a massa total de uma distribuição de massa de densidade σ numa região T no espaço. (Mostre os detalhes do que fizer.)

- **1.** $\sigma = x^2y^2z^2$, T é a caixa $|x| \le a$, $|y| \le b$, $|z| \le c$
- **2.** $\sigma = x^2 + y^2 + z^2$, *T* é a caixa $0 \le x \le 4$, $0 \le y \le 9$, $0 \le z \le 1$
- 3. $\sigma = \text{sen } x \text{ cos } y, T: 0 \le x \le \frac{1}{2}\pi, \frac{1}{2}\pi x \le y \le \frac{1}{2}\pi, 0 \le z \le 12$
- **4.** $\sigma = e^{-x-y-z}$, T é o tetraedro de vértices (0, 0, 0), (2, 0, 0), (0, 2, 0), (0, 0, 2)
- **5.** $\sigma = \frac{1}{2}(x^2 + y^2)^2$, T é o cilindro $x^2 + y^2 \le 4$, $|z| \le 2$
- **6.** $\sigma = 30z$, T é a região no primeiro *octante* limitada por $y = 1 x^2$ e z = x. Esboce-a.
- 7. $\sigma = 1 + y + z^2$, T é o cilindro $y^2 + z^2 \le 9$, $1 \le x \le 9$
- **8.** $\sigma = x^2 + y^2$, T é a esfera $x^2 + y^2 + z^2 \le a^2$

9–14 APLICAÇÃO DAS INTEGRAIS TRIPLAS: MOMENTO DE INÉRCIA

 $I_x = \iiint_T (y^2 + z^2) dx dy dz$ de uma massa de densidade 1 numa

região T sobre o eixo x. Encontre I_x quando T for como se segue

- **9.** O cubo $0 \le x \le a, 0 \le y \le a, 0 \le z \le a$
- **10.** A caixa $0 \le x \le a$, $-b/2 \le y \le b/2$, $-c/2 \le z \le c/2$
- **11.** O cilindro $y^2 + z^2 \le a^2$, $0 \le x \le h$
- **12.** A esfera $x^2 + y^2 + z^2 \le a^2$

- **13.** O cone $y^2 + z^2 \le x^2$, $0 \le x \le h$
- **14.** O parabolóide $y^2 + z^2 \le x$, $0 \le x \le h$
- **15.** Mostre que, para um sólido de revolução, $I_x = \frac{1}{2}\pi \int_0^x r^4(x) dx$. Use isso para resolver os Problemas 11–14.
- **16.** Por que, para grandes valores de h, I_x do Problema 13 é maior que I_x do Problema 14? E por que essa desigualdade se inverte para h = 1? Dê um motivo físico.

17–25 APLICAÇÃO DO TEOREMA DA DIVERGÊNCIA: INTEGRAIS DE SUPERFÍCIE $\iint_{\Gamma} \mathbf{f} \cdot \mathbf{n} \ dA$

Calcule o valor da integral usando o teorema da divergência. (Mostre os detalhes do que fizer.)

- **17.** $\mathbf{F} = [x, y, z], S \in \text{ a esfera } x^2 + y^2 + z^2 = 9$
- **18. F** = [4x, 3z, 5y], *S* é a superfície do cone $x^2 + y^2 \le z^2$, $0 \le z \le 2$
- **19.** $\mathbf{F} = [z y, y^3, 2z^3], S \notin \text{ a superficie de } y^2 + z^2 \le 4, -3 \le x \le 3$
- **20. F** = $[3xy^2, yx^2 y^3, 3zx^2]$, *S* é a superfície de $x^2 + y^2 \le 25$, $0 \le z \le 2$
- **21.** $\mathbf{F} = [\text{sen } y, \cos x, \cos z], S \in \text{ a superficie de } x^2 + y^2 \le 4, |z| \le 2$
- **22.** $\mathbf{F} = [x^3 y^3, y^3 z^3, z^3 x^3], S$ é a superfície de $x^2 + y^2 + z^2 \le 25, z \ge 0$
- 23. $\mathbf{F} = [4x^2, 2x + y^2, x^2 + z^2]$, S é a superfície do tetraedro no Problema 4
- **24.** $\mathbf{F} = [4x^2, y^2, -2 \cos \pi z], S \in \text{ a superficie do tetraedro de vértices } (0, 0, 0), (1, 0, 0), (0, 1, 0), (0, 0, 1)$
- **25.** $\mathbf{F} = [5x^3, 5y^3, 5z^3], S: x^2 + y^2 + z^2 = 4$

10.8 Outras Aplicações do Teorema da Divergência

Mostraremos nesta seção que o teorema da divergência tem aplicações fundamentais no escoamento de fluidos, onde ele ajuda a caracterizar as fontes e os sorvedouros de um fluido, no fluxo do calor, onde ele leva à equação

fundamental *do calor*, e na *teoria do potencial*, onde fornece as propriedades básicas das soluções da *equação de Laplace*. Aqui, adotaremos a suposição de que a região T e sua superfície de contorno S são tais que o teorema da divergência se aplica.

EXEMPLO 1 Escoamento de um Fluido. Interpretação Física da Divergência

Usando o teorema da divergência, podemos obter uma interpretação intuitiva do divergente de um vetor. Para esse propósito, consideremos o escoamento de um fluido incompressível (veja a Seção 9.8) de densidade constante $\rho = 1$ e que seja **permanente**, isto é, não varie com o tempo. Esse escoamento é determinado pelo campo do seu vetor velocidade $\mathbf{v}(P)$ em qualquer ponto P.

Consideremos que S seja a superfície de contorno de uma região T no espaço, e que \mathbf{n} seja o vetor normal unitário e exterior a S. Então, $\mathbf{v} \cdot \mathbf{n}$ é a componente normal de \mathbf{v} na direção de \mathbf{n} , e $|\mathbf{v} \cdot \mathbf{n}| dA|$ é a massa de fluido saindo de T (se $\mathbf{v} \cdot \mathbf{n} > 0$ em algum P) ou entrando em T (se $\mathbf{v} \cdot \mathbf{n} < 0$ em P) por unidade de tempo em algum ponto P de S através de uma pequena porção ΔS de S de área ΔA . Logo, a massa total, por unidade de tempo, do fluido que sai de T passando por S dada pela integral de superfície

$$\int_{S} \int \mathbf{v} \cdot \mathbf{n} \ dA.$$

Dividindo pelo volume V de T, obtemos o **escoamento médio** para fora de T:

(1)
$$\frac{1}{V} \iint_{S} \mathbf{v} \cdot \mathbf{n} \, dA.$$

Como o escoamento é permanente e o fluido é incompressível, é necessário repor continuamente a quantidade de fluido saindo. Logo, se o valor da integral (1) for diferente de zero, necessariamente ocorrem **fontes** (*fontes positivas ou fontes negativas, chamadas de* **sorvedouros**) em *T*, ou seja, pontos onde o fluido é produzido ou desaparece.

Se fizermos T encolher até um ponto fixo P em T, obtemos de (1) a **intensidade da fonte** em P, dada pelo lado direito de (11) na última seção com $\mathbf{F} \cdot \mathbf{n}$ sendo substituído por $\mathbf{v} \cdot \mathbf{n}$, ou seja,

(2)
$$\operatorname{div} \mathbf{v}(P) = \lim_{d(T) \to 0} \frac{1}{V(T)} \iint_{S(T)} \mathbf{v} \cdot \mathbf{n} \, dA.$$

Logo, o divergente do vetor de velocidade \mathbf{v} de um escoamento incompressível e estacionário corresponde à intensidade da fonte do escoamento no ponto correspondente.

Não há fontes em T se e somente se div v é nulo em todos os pontos de T. Logo, para qualquer superfície fechada S em T, temos

$$\iint_{S} \mathbf{v} \cdot \mathbf{n} \ dA = 0.$$

EXEMPLO 2 Modelagem do Fluxo do Calor. Equação de Difusão ou do Calor

Experimentos físicos mostram que, num corpo, o calor escoa na direção da temperatura decrescente, e a taxa de fluxo é proporcional ao gradiente da temperatura. Isso significa que a velocidade v do fluxo térmico num corpo assume a forma

$$\mathbf{v} = -K \text{ grad } U$$

onde U(x, y, z, t) é a temperatura, t é o tempo e K é a chamada condutividade térmica do corpo; em circunstâncias físicas usuais, K é uma constante. Usando essas informações, obtenha o modelo matemático para o fluxo térmico, dado pela chamada **equação do calor** ou **equação da difusão**.

Solução. Consideremos T uma região no corpo limitada por uma superfície S com um vetor normal unitário exterior \mathbf{n} tal que o teorema da divergência se verifica. Então, $\mathbf{v} \cdot \mathbf{n}$ é a componente de \mathbf{v} na direção de \mathbf{n} , e a quantidade de calor deixando T por unidade de tempo é

$$\int \int \mathbf{v} \cdot \mathbf{n} \ dA.$$

Essa expressão é obtida de maneira semelhante à integral de superfície correspondente no último exemplo. Usando

$$\operatorname{div}\left(\operatorname{grad} U\right) = \nabla^{2}U = U_{xx} + U_{yy} + U_{zz}$$

(este é o laplaciano; veja (3) na Seção 9.8), temos pelo teorema da divergência e por (3),

(4)
$$\iint_{S} \mathbf{v} \cdot \mathbf{n} \, dA = -K \iiint_{T} \operatorname{div} (\operatorname{grad} U) \, dx \, dy \, dz$$
$$= -K \iiint_{T} \nabla^{2} U \, dx \, dy \, dz.$$

Por outro lado, a quantidade total de calor H em T é

$$H = \iiint_T \sigma \rho U \ dx \ dy \ dz$$

onde a constante σ é o calor específico do material do corpo e ρ é a massa específica (= massa por unidade de volume) do material. Logo, a taxa temporal de decréscimo de H é

$$-\frac{\partial H}{\partial t} = -\iiint_{T} \sigma \rho \frac{\partial U}{\partial t} dx dy dz$$

e esse valor tem que ser igual à quantidade de calor deixando T que havíamos calculado. Portanto, temos de (4),

$$-\iiint_{T} \sigma \rho \frac{\partial U}{\partial t} dx dy dz = -K \iiint_{T} \nabla^{2} U dx dy dz$$

OU

$$\iiint_T \left(\sigma \rho \, \frac{\partial U}{\partial t} \, - \, K \, \nabla^2 U \right) \, dx \, dy \, dz = 0.$$

Como isso se verifica para qualquer região T no corpo, o integrando (se contínuo) tem que ser zero em todos os lugares, isto é,

$$\frac{\partial U}{\partial t} = c^2 \nabla^2 U \qquad c^2 = \frac{K}{\sigma \rho}$$

onde c^2 é a chamada difusividade térmica do material. Essa equação diferencial parcial é chamada de **equação do calor**, sendo a equação fundamental para a condução térmica. E a prova que obtivemos é outra demonstração eloqüente da grande importância do teorema da divergência. No Capítulo 12, veremos métodos para resolver problemas de calor.

A equação do calor é também denominada **equação de difusão**, pois ela também modela os processos de difusão dos movimentos das moléculas, tendendo a nivelar as diferenças de densidade e pressão nos gases e líquidos.

Se o fluxo térmico não depende do tempo, dizemos tratar-se de um **fluxo de calor permanente**. Então, $\partial U/\partial t = 0$, de modo que (5) se reduz à *equação de Laplace* $\nabla^2 U = 0$. Encontramos essa equação nas Seções 9.7 e 9.8, e agora veremos que o teorema da divergência acrescenta fundamentais referentes à natureza das soluções dessa equação.

Teoria do Potencial. Funções Harmônicas

A teoria de soluções da equação de Laplace

(6)
$$\nabla^2 f = \frac{\partial^2 f}{\partial x^2} + \frac{\partial^2 f}{\partial y^2} + \frac{\partial^2 f}{\partial z^2} = 0$$

é chamada de **teoria do potencial**. Dizemos que uma solução de (6) com derivadas parciais de segunda ordem *contínuas* é uma **função harmônica**. Essa continuidade é necessária para a aplicação do teorema da divergência na teoria do potencial, onde o teorema desempenha um papel-chave, que desejamos investigar mais a fundo. Outros detalhes sobre a teoria do potencial serão apresentados nos Capítulos 12 e 18.

EXEMPLO 3 Uma Propriedade Básica das Soluções da Equação de Laplace

No teorema da divergência, os integrandos são div \mathbf{F} e $\mathbf{F} \cdot \mathbf{n}$ (Seção 10.7). Se \mathbf{F} é o gradiente de uma função escalar, digamos, $\mathbf{F} = \operatorname{grad} f$, então div $\mathbf{F} = \operatorname{div}$ (grad f) = $\nabla^2 f$; veja (3) da Seção 9.8. Além disso, $\mathbf{F} \cdot \mathbf{n} = \mathbf{n} \cdot \mathbf{F} = \mathbf{n} \cdot \mathbf{grad} f$. Esta é a derivada direcional de f na direção normal exterior a S, que é a superfície de contorno da região T no teorema. Essa derivada é chamada de **derivada normal** (exterior) de f, sendo denotada por $\partial f/\partial n$. Portanto, a fórmula no teorema da divergência torna-se

(7)
$$\iiint_T \nabla^2 f \, dV = \iint_S \frac{\partial f}{\partial n} \, dA.$$

Este é o análogo tridimensional de (9) na Seção 10.4. Em decorrência das suposições do teorema da divergência, isso fornece o seguinte resultado:

TEOREMA 1 Uma Propriedade Básica das Funções Harmônicas

Consideremos que f(x, y, z) seja uma função harmônica em algum domínio D no espaço, que S seja qualquer curva fechada, suave por intervalos e orientável em D, e que toda a região que essa superfície engloba pertença a D. Então, a integral da derivada normal de f calculada sobre S é nula. (Em relação à expressão "suave por intervalos", veja a Seção f 10.5.)

EXEMPLO 4 Teoremas de Green

Consideremos que f e g sejam funções escalares tais que F = f grad g satisfaça as suposições do teorema da divergência em alguma região T. Então,

$$\operatorname{div} \mathbf{F} = \operatorname{div} (f \operatorname{grad} g)$$

$$= \operatorname{div} \left(\left[f \frac{\partial g}{\partial x}, f \frac{\partial g}{\partial y}, f \frac{\partial g}{\partial z} \right] \right)$$

$$= \left(\frac{\partial f}{\partial x} \frac{\partial g}{\partial x} + f \frac{\partial^2 g}{\partial x^2} \right) + \left(\frac{\partial f}{\partial y} \frac{\partial g}{\partial y} + f \frac{\partial^2 g}{\partial y^2} \right) + \left(\frac{\partial f}{\partial z} \frac{\partial g}{\partial z} + f \frac{\partial^2 g}{\partial z^2} \right)$$

$$= f \nabla^2 g + \operatorname{grad} f \cdot \operatorname{grad} g.$$

Além disso, como f é uma função escalar,

$$\mathbf{F} \cdot \mathbf{n} = \mathbf{n} \cdot \mathbf{F}$$

= $\mathbf{n} \cdot (f \text{ grad } g)$
= $(\mathbf{n} \cdot \text{grad } g)f$.

Ora, $\mathbf{n} \cdot \mathbf{g}$ rad g é a derivada direcional $\partial g/\partial n$ de g na direção normal exterior a S. Logo, a fórmula no teorema da divergência torna-se a "primeira fórmula de Green"

$$\iiint_T (f\nabla^2 g + \operatorname{grad} f \cdot \operatorname{grad} g) dV = \iiint_S f \frac{\partial g}{\partial n} dA.$$

Dizemos que a fórmula (8) juntamente com as suposições correspondem à *primeira forma do teorema de Green*. Trocando $f \in g$ de posição, obtemos uma fórmula similar. Subtraindo essa fórmula de (8), encontramos

(9)
$$\iiint_T (f\nabla^2 g - g\nabla^2 f) dV = \iint_S \left(f \frac{\partial g}{\partial n} - g \frac{\partial f}{\partial n} \right) dA.$$

Esta é a chamada segunda fórmula de Green ou (junto com as pressuposições) a segunda forma do teorema de Green.

EXEMPLO 5 Unicidade das Soluções da Equação de Laplace

Consideremos que f seja harmônica em um domínio D e que f seja nula em todos os lugares numa curva suave por intervalos, fechada e orientável S em D, superfície esta abrangendo toda uma região que pertence a D. Logo, $\nabla^2 g$ é zero em T e a integral de superfície em (8) vale zero, de modo que (8) com g = fornece

$$\iiint_T \operatorname{grad} f \bullet \operatorname{grad} f \ dV = \iiint_T |\operatorname{grad} f|^2 \ dV = 0.$$

Como f é harmônica, grad f e, portanto, |grad f| são contínuos em T e em S e, uma vez que |grad f| é não-negativo, para fazer com que a integral sobre T seja nula, grad f tem que ser o vetor nulo em todos os lugares de T. Logo, $f_x = f_y = f_z = 0$ e f é constante em T e, por causa da continuidade, é igual ao seu valor nulo em S. Isso prova o seguinte teorema:

TEOREMA 2

Funções Harmônicas

Consideremos que f(x, y, z) seja harmônica em algum domínio D e nula em todos os pontos de uma superfície suave por intervalos, fechada e orientável S em D, e que toda a região que essa superfície engloba pertença a D. Então, F é identicamente nula em T.

Esse teorema tem uma consequência importante. Consideremos que f_1 e f_2 sejam funções que satisfaçam as suposições do Teorema 1 e assuma os mesmos valores em S. Então, sua diferença $f_1 - f_2$ satisfaz essas suposições e tem valor nulo em todas as partes de S. Logo, o Teorema 2 implica que

$$f_1 - f_2 = 0$$
 em toda T ,

e temos o seguinte resultado fundamental:

TEOREMA 3

Teorema da Unicidade para a Equação de Laplace

Consideremos que T seja uma região que satisfaça as suposições do teorema da divergência e que f(x, y, z) seja uma função harmônica num domínio D que contém T e sua superfície de contorno S. Então, f é determinada unicamente em T pelo seus valores em S.

O problema de determinar uma solução *u* de uma equação diferencial parcial em uma região *T* tal que *u* assuma valores dados numa superfície de limite *S* de *T* é chamado de **problema de Dirichlet**⁸. Portanto, podemos reformular o Teorema 3 do seguinte modo:

⁸ PETER GUSTAV LEJEUNE DIRICHLET (1805–1859), matemático alemão, estudou em Paris com Cauchy e outros e sucedeu Gauss em Göttingen em 1855. Tornou-se conhecido por suas importantes pesquisas sobre séries de Fourier (ele conheceu Fourier pessoalmente) e teoria dos números.

TEOREMA 3*

Teorema da Unicidade para o Problema de Dirichlet

Se as suposições do Teorema 3 são satisfeitas e o problema de Dirichlet para a equação de Laplace tem uma solução em T, logo essa solução é única.

Esses teoremas evidenciam a extrema importância do teorema da divergência na teoria do potencial.

PROBLEMAS PROPOSTOS 10.8

- **1.** (Funções harmônicas) Verifique o Teorema 1 para $f = 2x^2 + 2y^2 4z^2$ e sendo S a superfície do cubo $0 \le x \le 1$, $0 \le y \le 1$, $0 \le z \le 1$.
- **2.** (Funções harmônicas) Verifique o Teorema 1 para $f = y^2 x^2$ e a superfície de um cilindro $x^2 + y^2 \le 1$, $0 \le z \le 5$.
- **3.** (Primeira fórmula de Green) Verifique (8) para $f = 3y^2$, $g = x^2$ e S sendo a superfície do cubo no Problema 1.
- **4.** (**Primeira fórmula de Green**) Verifique (8) para f = x, $g = y^2 + z^2$ e S sendo a superfície da caixa $0 \le x \le 1$, $0 \le y \le 2$, $0 \le z \le 3$.
- (Segunda fórmula de Green) Verifique (9) para os dados do Problema 3.
- **6.** (**Segunda fórmula de Green**) Verifique (9) para $f = x^4$, $g = y^2$ e o cubo do Problema 1.
- **7.** (**Volume como uma integral de superfície**) Mostre que uma região *T* com uma superfície de contorno *S* tem o volume

$$V = \frac{1}{3} \iint_{S} r \cos \phi \, dA$$

onde r é a distância entre um ponto variável P: (x, y, z) em S e a origem O e onde ϕ é o ângulo entre a reta orientada OP e a normal exterior a S em P. (Faça um esboço.)

- **8.** Encontre o volume de uma esfera de raio a usando a fórmula do Problema 7.
- Mostre que uma região T com uma superfície de contorno S tem o volume

$$V = \iint_{S} x \, dy \, dz$$
$$= \iint_{S} y \, dz \, dx$$

$$= \iint_{S} z \, dx \, dy$$
$$= \frac{1}{3} \iint_{S} (x \, dy \, dz + y \, dz \, dx + z \, dx \, dy).$$

10. PROJETO DE EQUIPE. Teorema da Divergência e Teoria do Potencial. As Equações (7)–(9) e os Teoremas 1–3 evidenciam a importância do teorema da divergência na teoria do potencial. Para enfatizar isso ainda mais, considere as funções f e g que sejam harmônicas em algum domínio D contendo uma região T com a superfície de contorno S tal que T satisfaça as suposições do teorema da divergência. Prove e ilustre com exemplos que:

(a)
$$\iint_{S} g \frac{\partial g}{\partial n} dA = \iiint_{T} |\operatorname{grad} g|^{2} dV.$$

(b) Se $\partial g/\partial n = 0$ em *S*, então *g* é constante em *T*.

(c)
$$\iint_{S} \left(f \frac{\partial g}{\partial n} - g \frac{\partial f}{\partial n} \right) dA = 0.$$

- (d) Se $\partial f/\partial n = \partial g/\partial n$ em S, então f = g + c em T, onde c é uma constante.
- (e) O laplaciano pode ser representado independentemente dos sistemas de coordenadas na forma

$$\nabla^2 f = \lim_{d(T) \to 0} \frac{1}{V(T)} \iint_{S(T)} \frac{\partial f}{\partial n} dA$$

onde d(T) é a distância máxima entre os pontos de uma região T limitada por S(T) e o ponto no qual o laplaciano é valiado, e V(T) é o volume de T.

10.9 Teorema de Stokes

Tendo visto a grande utilidade do teorema da divergência de Gauss, passaremos agora para o segundo "grande" teorema deste capítulo, o teorema de Stokes, que transforma integrais de linha em integrais de superfície e viceversa. Logo, ele generaliza o teorema de Green da Seção 10.4. O teorema de Stokes envolve o rotacional

(1)
$$\operatorname{rot} \mathbf{F} = \begin{vmatrix} \mathbf{i} & \mathbf{j} & \mathbf{k} \\ \partial/\partial x & \partial/\partial y & \partial/\partial z \\ F_1 & F_2 & F_3 \end{vmatrix}$$
 (veja Seção 9.9).

TEOREMA 1

Teorema de Stokes⁹

(Transformação entre Integrais de Superfície e Integrais de Linha)

Consideremos S uma superfície orientada e suave por intervalos no espaço e que o contorno de S seja formado por uma curva fechada, simples e suave por intervalos. Consideremos também que $\mathbf{F}(x, y, z)$ seja uma função vetorial contínua que possua derivadas parciais primeiras contínuas em um domínio no espaço contendo S. Então,

(2)
$$\int_{S} \int (\operatorname{rot} \mathbf{F}) \cdot \mathbf{n} \ dA = \oint_{C} \mathbf{F} \cdot \mathbf{r}'(s) \ ds.$$

Aqui, \mathbf{n} é um vetor normal unitário a S e, dependendo de \mathbf{n} , a integração em torno de C é realizada no sentido mostrado na Fig. 251. Além disso, $\mathbf{r}' = d\mathbf{r}/ds$ é o vetor tangente unitário e s é o comprimento de arco de C.

Em componentes, a fórmula (2) torna-se

(2*)
$$\iint_{R} \left[\left(\frac{\partial F_{3}}{\partial y} - \frac{\partial F_{2}}{\partial z} \right) N_{1} + \left(\frac{\partial F_{1}}{\partial z} - \frac{\partial F_{3}}{\partial x} \right) N_{2} + \left(\frac{\partial F_{2}}{\partial x} - \frac{\partial F_{1}}{\partial y} \right) N_{3} \right] du dv$$

$$= \oint_{\overline{C}} (F_{1} dx + F_{2} dy + F_{3} dz).$$

Aqui, $\mathbf{F} = [F_1, F_2, F_3]$, $\mathbf{N} = [N_1, N_2, N_3]$, \mathbf{n} $dA = \mathbf{N}$ du dv, \mathbf{r}' ds = [dx, dy, dz] e R é a região com a curva de contorno \overline{C} no plano uv que corresponde a S representada por $\mathbf{r}(u, v)$.

A prova segue após o Exemplo 1

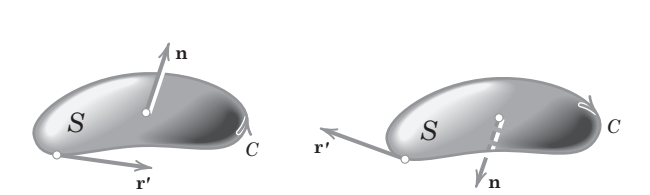


Fig. 251. Teorema de Stokes



Fig. 252. Superfície S do Exemplo 1

EXEMPLO 1 Verificação do Teorema de Stokes

Antes de provarmos o teorema de Stokes, vamos primeiramente nos acostumar a ele, verificando-o para $\mathbf{F} = [y, z, x]$ e sendo S um parabolóide (Fig. 252)

$$z = f(x, y) = 1 - (x^2 + y^2),$$
 $z \ge 0.$

Solução. A curva C, orientada como na Fig. 252, é a circunferência $\mathbf{r}(s) = [\cos s, \sin s, 0]$. Seu vetor tangente unitário é $\mathbf{r}'(s) = [-\sin s, \cos s, 0]$. A função $\mathbf{F} = [y, z, x]$ em C é $\mathbf{F}(\mathbf{r}(s)) = [\sin s, 0, \cos s]$. Logo,

$$\oint_C \mathbf{F} \cdot d\mathbf{r} = \int_0^{2\pi} \mathbf{F}(\mathbf{r}(s)) \cdot \mathbf{r}'(s) \, ds = \int_0^{2\pi} \left[(\operatorname{sen} s)(-\operatorname{sen} s) + 0 + 0 \right] ds = -\pi.$$

Consideremos agora a integral de superfície. Temos que $F_1 = y$, $F_2 = z$, $F_3 = x$, de modo que, em (2*), obtemos

rot
$$\mathbf{F} = \text{rot } [F_1, F_2, F_3] = \text{rot } [y, z, x] = [-1, -1, -1].$$

Um vetor normal a $S \in \mathbb{N} = \text{grad}(z - f(x, y)) = [2x, 2y, 1]$. Logo, (rot $\mathbb{F}) \cdot \mathbb{N} = -2x - 2y - 1$. Ora, $\mathbb{n} dA = \mathbb{N} dx dy$ (veja (3*) na Seção 10.6 com x, y no lugar de u, v). Usando as coordenadas polares r, θ , definidas por $x = r \cos \theta$, $y = r \sin \theta$ e representando por R a projeção de S sobre o plano xy, obtemos, portanto,

$$\iint_{S} (\operatorname{rot} \mathbf{F}) \cdot \mathbf{n} \, dA = \iint_{R} (\operatorname{rot} \mathbf{F}) \cdot \mathbf{N} \, dx \, dy = \iint_{R} (-2x - 2y - 1) \, dx \, dy$$

⁹ Sir GEORGE GABRIEL STOKES (1819–1903), matemático e físico irlandês, que se tornou catedrático em Cambridge em 1849. Também é conhecido por suas importantes contribuições à teoria das séries infinitas e à do escoamento viscoso (equações de Navier-Stokes), geodésica e óptica.

A expressão "curvas e superfícies suaves por intervalos" é definida nas Seções 10.1 e 10.5.

$$= \int_{\theta=0}^{2\pi} \int_{r=0}^{1} (-2r(\cos\theta + \sin\theta) - 1)r \, dr \, d\theta$$

$$= \int_{\theta=0}^{2\pi} \left(-\frac{2}{3} (\cos\theta + \sin\theta) - \frac{1}{2} \right) d\theta = 0 + 0 - \frac{1}{2} (2\pi) = -\pi.$$

PROVA Provemos o teorema de Stokes. Obviamente, (2) se verifica caso as integrais de cada componente em ambos os lados de (2*) sejam iguais; isto é,

(3)
$$\iint_{\mathcal{D}} \left(\frac{\partial F_1}{\partial z} N_2 - \frac{\partial F_1}{\partial y} N_3 \right) du \, dv = \oint_{\overline{C}} F_1 \, dx$$

(4)
$$\iint_{\mathcal{R}} \left(-\frac{\partial F_2}{\partial z} N_1 + \frac{\partial F_2}{\partial x} N_3 \right) du \, dv = \oint_{\overline{C}} F_2 \, dy$$

(5)
$$\iint_{\Sigma} \left(\frac{\partial F_3}{\partial y} N_1 - \frac{\partial F_3}{\partial x} N_2 \right) du \, dv = \oint_{\overline{C}} F_3 \, dz.$$

Provemos isso primeiro para uma superfície S que pode ser representada simultaneamente nas formas

(6) (a)
$$z = f(x, y)$$
, (b) $y = g(x, y)$, (c) $x = h(y, z)$

Provemos (3) usando (6a). Fazendo u = x, v = y, temos de (6a)

$$\mathbf{r}(u, v) = \mathbf{r}(x, y) = [x, y, f(x, y)] = x\mathbf{i} + y\mathbf{j} + f\mathbf{k}$$

e, em (2) da Seção 10.6, por cálculo direto,

$$\mathbf{N} = \mathbf{r}_u \times \mathbf{r}_v = \mathbf{r}_x \times \mathbf{r}_y = [-f_x, -f_y, 1] = -f_x \mathbf{i} - f_y \mathbf{j} + \mathbf{k}$$
.

Note que N é um vetor normal *superior* a S, visto que ele tem uma componente z positiva. Além disso, $R = S^*$, a projeção de S sobre o plano xy, com a curva de contorno $\overline{C} = C^*$ (Fig. 253). Logo, o lado esquerdo de (3) é

(7)
$$\iint_{S_*} \left[\frac{\partial F_1}{\partial z} \left(-f_y \right) - \frac{\partial F_1}{\partial y} \right] dx \, dy.$$

Consideremos agora o lado direito de (3). Transformamos essa integral de linha sobre $\overline{C} = C^*$ numa integral dupla sobre S^* aplicando o teorema de Green [fórmula (1) da Seção 10.4 com $F_2 = 0$]. Isso fornece

$$\oint_{C^*} F_1 dx = \iint_{S^*} -\frac{\partial F_1}{\partial y} dx dy.$$

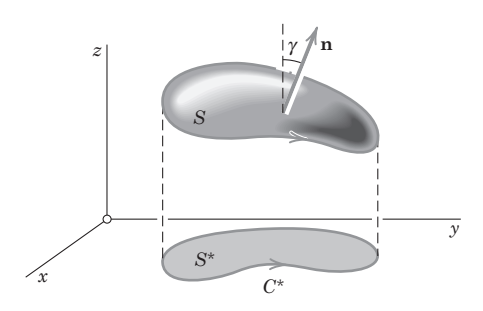


Fig. 253. Prova do Teorema de Stokes

Aqui, $F_1 = F_1(x, y, f(x, y))$. Daí, pela regra da cadeia (veja também o Problema 10 em Problemas Propostos 9.6),

$$-\frac{\partial F_1(x, y, f(x, y))}{\partial y} = -\frac{\partial F_1(x, y, z)}{\partial y} - \frac{\partial F_1(x, y, z)}{\partial z} \frac{\partial f}{\partial y} \qquad [z = f(x, y)].$$

Vemos que o lado direito disso é igual ao integrando em (7). Isso prova (3). As relações (4) e (5) seguem-se da mesma forma, se usarmos (6b) e (6c), respectivamente. Por adição, obtemos (2*). Isso prova o teorema de Stokes para uma superfície S que pode ser representada simultaneamente nas formas (6a), (6b) e (6c).

Assim como na prova do teorema da divergência, nosso resultado pode ser imediatamente estendido às superfícies S que podem ser decompostas num número finito de superfícies, onde cada uma delas seja do tipo que consideramos. Essa situação encerra a maior parte dos casos de interesse prático. A prova para o caso de uma superfície mais geral S satisfazendo as suposições do teorema requer o uso de limites e é similar à situação vista no caso do teorema de Green na Seção 10.4.

EXEMPLO 2 Teorema de Green no Plano como um Caso Especial do Teorema de Stokes

Considere que $\mathbf{F} = [F_1, F_2] = F_1\mathbf{i} + F_2\mathbf{j}$ seja uma função vetorial derivável continuamente num domínio no plano xy contendo uma região fechada, limitada e simplesmente conectada S cujo contorno C é uma curva fechada, simples e suave por intervalos. Então, de acordo com (1),

$$(\operatorname{rot} \mathbf{F}) \cdot \mathbf{n} = (\operatorname{rot} \mathbf{F}) \cdot \mathbf{k} = \frac{\partial F_2}{\partial x} - \frac{\partial F_1}{\partial y}.$$

Logo, a fórmula no teorema de Stokes agora assume a forma

$$\iint\limits_{S} \left(\frac{\partial F_2}{\partial x} - \frac{\partial F_1}{\partial y} \right) dA = \oint\limits_{C} (F_1 dx + F_2 dy).$$

Isso mostra que o teorema de Green no plano (Seção 10.4) é um caso especial do teorema de Stokes (que precisávamos para provar o último!).

EXEMPLO 3 Cálculo do Valor de uma Integral de Linha pelo Teorema de Stokes

Calcule o valor de $\int_{C} \mathbf{F} \cdot \mathbf{r}' ds$, onde C é a circunferência $x^2 + y^2 = 4$, z = -3, orientado no sentido anti-horário como visto por uma pessoa de pé na origem, e adotando-se um sistema dextrogiro de coordenadas cartesianas.

$$\mathbf{F} = \begin{bmatrix} y, & xz^3, & -zy^3 \end{bmatrix} = y\mathbf{i} + xz^3\mathbf{j} - zy^3\mathbf{k}.$$

Solução. Como uma superfície S limitada por C, podemos considerar o disco circular plano $x^2 + y^2 \le 4$ no plano z = -3. Então, **n** no teorema de Stokes aponta na direção positiva de z; daí, n = k. Então, (rot F) • n é simplesmente a componente de rot F na direção positiva de z. Como \mathbf{F} com z = -3 tem as componentes $F_1 = y$, $F_2 = -27x$, $F_3 = 3y^3$, obtemos, portanto, que

$$(\text{rot } \mathbf{F}) \cdot \mathbf{n} = \frac{\partial F_2}{\partial x} - \frac{\partial F_1}{\partial y} = -27 - 1 = -28.$$

Logo, a integral sobre S no teorema de Stokes é igual a -28 vezes a área 4π do disco S. Isso fornece a resposta $-28 \cdot 4\pi = -112\pi \approx -352$. Confirme isso por cálculo direto, que requer um pouco mais de trabalho.

EXEMPLO 4 Significado Físico do Rotacional no Movimento de Fluidos. Circulação.

Considere que S_{r_0} seja um disco circular de raio r_0 e centro P limitado pela circunferência C_{r_0} (Fig. 254), e que $\mathbf{F}(Q) \equiv \mathbf{F}(x, y, z)$ seja uma função vetorial continuamente derivável num domínio contendo S_{r_0} . Então, pelo teorema de Stokes e pelo teorema do valor médio para as integrais de superfície (veja a Seção 10.6).



$$(\operatorname{rot} \mathbf{F}) \bullet \mathbf{n}(P^*) = \frac{1}{A_{r_0}} \oint_{C_{r_-}} \mathbf{F} \bullet \mathbf{r}' \, ds.$$

No caso do movimento de um fluido com o vetor velocidade $\mathbf{F} = \mathbf{v}$, a integral

Fig. 254. Exemplo 4

$$\oint_{C_{r_0}} \mathbf{v} \cdot \mathbf{r}' \ ds$$

é chamada de **circulação** do fluxo em torno de C_{r_0} . Ela mede o grau com que o movimento do fluido correspondente é uma rotação ao redor da circunferência C_{r_0} . Se agora fizermos r_0 se aproximar de zero, constatamos que

(8)
$$(\operatorname{rot} \mathbf{v}) \cdot \mathbf{n}(P) = \lim_{r_0 \to 0} \frac{1}{A_{r_0}} \oint_{C_{r_0}} \mathbf{v} \cdot \mathbf{r}' \, ds;$$

ou seja, a componente do rotacional na direção normal positiva pode ser considerada como a circulação específica (circulação por unidade de área) do fluxo na superfície no ponto correspondente.

EXEMPLO 5 Trabalho Realizado no Deslocamento em Torno de uma Curva Fechada

Encontre o trabalho realizado pela força $\mathbf{F} = 2xy^3$ sen $z \mathbf{i} + 3x^2y^2$ sen $z \mathbf{j} + x^2y^3$ cos $z \mathbf{k}$ no deslocamento em torno da curva de interseção do parabolóide $z = x^2 + y^2$ com o cilindro $(x - 1)^2 + y^2 = 1$.

Solução. Esse trabalho é dado pela integral de linha do teorema de Stokes. Ora, $\mathbf{F} = \operatorname{grad} f$, onde $f = x^2y^3$ sen z e rot (grad f) = $\mathbf{0}$ (veja (2) na Seção 9.9), de modo que (rot \mathbf{F}) • $\mathbf{n}=0$ e o trabalho é 0 pelo teorema de Stokes. Isso concorda com o fato de que o campo nesse caso é conservativo (definição na Seção 9.7).

Teorema de Stokes Aplicado à Independência do Caminho

Na Seção 10.2, enfatizamos que o valor de uma integral de linha em geral depende não apenas da função a ser integrada e das extremidades *A* e *B* do caminho de integração *C*, mas também da escolha particular de um caminho de *A* a *B*. No Teorema 3 da Seção 10.2, provamos que, se uma integral de linha

(9)
$$\int_{C} \mathbf{F}(\mathbf{r}) \cdot d\mathbf{r} = \int_{C} (F_1 dx + F_2 dy + F_3 dz)$$

(envolvendo funções F_1 , F_2 , F_3 contínuas e com derivadas parciais primeiras contínuas) é independente do caminho num domínio D, então rot $\mathbf{F} = \mathbf{0}$ em D. E, na Seção 10.2, afirmamos inversamente que o fato de que rot $\mathbf{F} = \mathbf{0}$ em todos os lugares em D implica a independência do caminho de (9) em D, desde que D seja simplesmente conectado. Uma prova disso necessita do teorema de Stokes e pode agora ser dada como se segue.

Consideremos que C seja qualquer caminho fechado em D. Como D é simplesmente conectado, podemos encontrar uma superfície S em D limitada por C. O teorema de Stokes se aplica e fornece

$$\oint_C (F_1 dx + F_2 dy + F_3 dz) = \oint_C \mathbf{F} \cdot \mathbf{r}' ds = \iint_S (\text{rot } \mathbf{F}) \cdot \mathbf{n} dA$$

para a direção apropriada em C e um vetor normal \mathbf{n} em S. Como rot $\mathbf{F} = \mathbf{0}$ em D, a integral de superfície e, portanto, a integral de linha, valerão zero. Isso e o Teorema 2 da Seção 10.2 implicam que a integral (9) é independente do caminho em D. Isso completa a prova.

PROBLEMAS PROPOSTOS 10.9

1–8 INTEGRAÇÃO DIRETA DAS INTEGRAIS
DE SUPERFÍCIE

Avalie a integral $\iint_{S} (\text{rot } \mathbf{F}) \cdot \mathbf{n} \ dA$ diretamente para $\mathbf{F} \in S$ dados.

- **1.** $\mathbf{F} = [4z^2, 16x, 0], S: z = y \ (0 \le x \le 1, 0 \le y \le 1)$
- **2.** $\mathbf{F} = [0, 0, 5x \cos z], S: x^2 + y^2 = 4, y \ge 0, 0 \le z \le \frac{1}{2}\pi$
- **3.** $\mathbf{F} = [-e^y, e^z, e^x], S: z = x + y \ (0 \le x \le 1, 0 \le y \le 1)$
- **4.** $\mathbf{F} = [3 \cos y, \cosh z, x], S \in \text{ o quadrado } 0 \le x \le 2, 0 \le y \le 2,$
- **5.** $\mathbf{F} = [e^{2z}, e^z \text{ sen } y, e^z \text{ cos } y], S: z = y^2 (0 \le x \le 4, 0 \le y \le 1)$
- **6.** $\mathbf{F} = [z^2, x^2, y^2], S: z^2 = x^2 + y^2, y \ge 0, 0 \le z \le 2$
- **7.** $\mathbf{F} = \begin{bmatrix} z^2, & \frac{3}{2}x, & 0 \end{bmatrix}$, *S* é o quadrado $0 \le x \le a, 0 \le y \le a, z = 1$
- **8.** $\mathbf{F} = [y^3, -x^3, 0], S: x^2 + y^2 \le 1, z = 0$
- **9.** Verifique o teorema de Stokes para **F** e *S* no Problema 7.
- 10. Verifique o teorema de Stokes para F e S no Problema 8.

11–18 CÁLCULO DO VALOR DE $\oint_{c} \mathbf{F} \cdot \mathbf{r}' ds$

Calcule estas integrais de linha pelo teorema de Stokes, no sentido horário como visto por uma pessoa de pé na origem, para as seguintes $F \in C$. Suponha que as coordenadas cartesianas sejam dextrogiras. (Mostre os detalhes.)

- **11.** $\mathbf{F} = [-3y, 3x, z], C$ é a circunferência $x^2 + y^2 = 4, z = 1$
- **12.** $\mathbf{F} = [4z, -2x, 2x], C \neq a \text{ interseção de } x^2 + y^2 = 1 \text{ e } z = y + 1$
- **13.** $\mathbf{F} = [y^2, x^2, -x, +z]$, em torno do triângulo de vértices (0, 0, 1), (1, 0, 1), (1, 1, 1)
- **14.** $\mathbf{F} = [y, xy^3, -zy^3], C \text{ \'e o c\'irculo } x^2 + y^2 = a^2, z = b \ (> 0)$
- **15.** $\mathbf{F} = [y, z^2, x^3], C$ como no Problema 12
- **16.** $\mathbf{F} = [x^2, y^2, z^2], C$ é a interseção de $x^2 + y^2 + z^2 = 4$ e $z = y^2$
- **17.** $\mathbf{F} = [\cos \pi y, \sin \pi y, 0]$, em torno do retângulo de vértices (0, 1, 0), (0, 0, 1), (1, 0, 1), (1, 1, 0)
- **18.** F = [z, x, y], C como no Problema 13
- 19. (Não-aplicabilidade do teorema de Stokes) Calcule o valor de $\oint_C \mathbf{F} \cdot \mathbf{r}' ds$, $\mathbf{F} = (x^2 + y^2)^{-1}[-y, x]$, $C: x^2 + y^2 = 1$, z = 0, orientada no sentido horário. Por que o teorema de Stokes não pode ser aplicado? Que resultado (falso) ele forneceria?
- 20. PROJETO ESCRITO. Grad, Div, Rot em Conexão com as Integrais. Faça uma lista de idéias e de resultados sobre esses tópicos vistos neste capítulo. Veja se consegue rearranjar ou combinar as partes do seu material. Então subdivida-o entre 3–5 partes e resolva os detalhes de cada uma. Não inclua as provas, mas apenas exemplos simples e típicos de sua própria escolha, que permitam uma melhor compreensão do material.

QUESTÕES E PROBLEMAS DE REVISÃO DO CAPÍTULO 10

- Liste os tipos de integrais neste capítulo e como os teoremas integrais relacionam alguns deles.
- **2.** De que modo o trabalho de uma força variável pode ser expresso por uma integral?
- **3.** Diga de memória como você faz para calcular o valor de uma integral de linha e de uma integral dupla.
- **4.** O que você se recorda sobre a independência do caminho? Por que ela é importante?
- **5.** De que modo usamos o teorema de Stokes em conexão com a independência do caminho?
- 6. Dê a definição de rotacional. Por que ele é importante neste capítulo?
- 7. Como podemos transformar uma integral dupla ou uma integral de superfície em uma integral de linha?
- **8.** O que é orientação de uma superfície? Qual é o seu papel em conexão com as integrais de superfície?

- **9.** Enuncie de memória o teorema da divergência e suas aplicações.
- 10. Enuncie a equação de Laplace. Onde, na física, ela é importante? Quais propriedades de suas soluções foram por nós discutidas?

Avalie, com \mathbf{F} e C conforme dadas, pelo método que mais lhe pareça adequado. Lembre-se de que, se \mathbf{F} é uma força, a integral fornece o trabalho realizado em um deslocamento ao longo de C. (Mostre os detalhes.)

- **11.** $\mathbf{F} = [x^2, y^2, z^2], C$ é o segmento retilíneo de (4, 1, 8) a (0, 2, 3)
- **12.** $\mathbf{F} = [\cos z, -\sin z, -x \sin z, -y \cos z], C \notin \text{o segmento retilíneo de } (-2, 0, \frac{1}{2}\pi) \text{ a } (4, 3, 0)$
- **13.** $\mathbf{F} = [x y, 0, e^z], C: y = 3x^2, z = 2x \text{ para } x \text{ de } 0 \text{ a } 2.$
- **14.** $\mathbf{F} = [yz, 2xz, xy], C$ é a circunferência $x^2 + y^2 = 9, z = 1$ no sentido anti-horário
- **15.** $\mathbf{F} = [-3y^3, 3x^3 + \cos y, 0], C$ é a circunferência $x^2 + y^2 = 16, z = 0$ no sentido anti-horário
- **16.** $\mathbf{F} = [\text{sen } \pi y, \cos \pi y, \text{ sen } \pi x], C \in \text{ o contorno de } 0 \le x \le 1/2, 0 \le y \le 2, z = 2x$
- **17.** $\mathbf{F} = [9z, 5x, 3y], C \text{ \'e a elipse } x^2 + y^2 = 9, z = x + 2$
- **18.** $\mathbf{F} = [\cosh x, e^{4y}, \tan z], C: x^2 + y^2 = 4, z = x^2.$ (Esboce C.)
- **19.** $\mathbf{F} = [z^2, x^3, y^2], C: x^2 + y^2 = 4, x + y + z = 0$
- **20.** $\mathbf{F} = [x^2, y^2, y^2x], C \notin \text{ a h\'elice } \mathbf{r} = [2 \cos t, 2 \sin t, 6t] \text{ de } (2, 0, 0)$ a $(0, 2, 3\pi)$

21–25 INTEGRAIS DE SUPERFÍCIE, CENTRO DE GRAVIDADE

Encontre as coordenadas \bar{x} , \bar{y} do centro de gravidade de uma massa de densidade f(x, y) na região R. (Esboce R. Mostre os detalhes.)

- **21.** f = 2xy, R é o triângulo de vértices (0, 0), (1, 0), (1, 1)
- **22.** f = 1, $R: 0 \le y \le 1 x^2$
- **23.** f = 1, $R: x^2 + y^2 \le a^2$, $y \ge 0$
- **24.** $f = x^2 + y^2$, $R: x^2 + y^2 \le 1$, $x \ge 0$, $y \ge 0$
- **25.** $f = 2x^2$, R é a região abaixo de y = x + 2 e acima de $y = x^2$.

Calcule o valor destas integrais diretamente ou, se possível, pelo teorema da divergência. (Mostre os detalhes.)

- **26.** $\mathbf{F} = [2x^2, 4y, 0], S: x + y + z = 1, x \ge 0, y \ge 0, z \ge 0$
- **27.** $\mathbf{F} = [y, -x, 0], S: 3x + 2y + z = 6, x \ge 0, y \ge 0, z \ge 0$
- **28.** $\mathbf{F} = [x y, y z, z x], S$ a esfera de raio 5 e centro 0
- **29.** $\mathbf{F} = [y^2, x^2, z^2], S$ é a superfície de $x^2 + y^2 \le 4, 0 \le z \le 5$
- **30.** $\mathbf{F} = [y^3, x^3, 3z^2]$, S é a porção do parabolóide $z = x^2 + y^2$, $z \le 4$
- **31.** $\mathbf{F} = [\sec^2 x, -y \sec 2x, 5z], S \notin \text{ a superficie da caixa } |x| \le a, |y| \le b, |z| \le c$
- **32.** $\mathbf{F} = [1, 1, a], S: x^2 + Y^2 + 4z^2 = 4, z \ge 0$
- **33.** $\mathbf{F} = [x, xy, z], S: x^2 + y^2 = 1, 0 \le z \le h$
- **34.** F como no Problema 33, S é o contorno completo de $x^2 + y^2 \le 1$, $0 \le z \le h$
- **35.** $\mathbf{F} = [e^y, 0, ze^x]$, S é o retângulo de vértices (0, 0, 0), (1, 2, 0), (0, 0, 5), (1, 2, 5)

resumo do capítulo 10

Cálculo Integral Vetorial. Teoremas Integrais

O Capítulo 9 estendeu o cálculo *diferencial* para vetores, isto é, para as funções vetoriais $\mathbf{v}(x, y, z)$ ou $\mathbf{v}(t)$. Similarmente, este Capítulo 10 estende o cálculo *integral* para as funções vetoriais. Este assunto envolve as *integrais de linha* (Seção 10.1), *integrais duplas* (Seção 10.3), *integrais de superfície* (Seção 10.6) e *integrais triplas* (Seção 10.7) e os três "grandes" teoremas de transformação dessas integrais em outras, a saber, o teorema de Green (Seção 10.4), de Gauss (Seção 10.7) e de Stokes (Seção 10.9).

O análogo da integral definida do cálculo é uma integral de linha (Seção 10.4)

(1)
$$\int_{C} \mathbf{F}(\mathbf{r}) \cdot d\mathbf{r} = \int_{C} (F_1 dx + F_2 dy + F_3 dz) = \int_{a}^{b} \mathbf{F}(\mathbf{r}(t)) \cdot \frac{d\mathbf{r}}{dt} dt$$

onde C: $\mathbf{r}(t) = [x(t), y(t), z(t)] = x(t)\mathbf{i} + y(t)\mathbf{j} + z(t)\mathbf{k}$ ($a \le t \le b$) é uma curva no espaço (ou no plano). Fisicamente, (1) pode representar o trabalho realizado por uma força (variável) em um deslocamento. Outros tipos de integrais de linha e suas aplicações também são discutidos na Seção 10.1.

A **independência do caminho** de uma integral de linha em um domínio D significa que a integral de uma dada função sobre qualquer caminho C com extremidades P e Q tem o mesmo valor para todos os caminhos de P a Q que se situam em D; aqui, P e Q são fixos. Uma integral (1) é independente do caminho em D se e somente se a forma diferencial F_1 $dx + F_2$ $dy + F_3$ dz, com F_1 , F_2 , F_3 contínuos, for **exata** em D (Seção 10.2). Além disso, se rot $\mathbf{F} = \mathbf{0}$, onde $\mathbf{F} = [F_1, F_2, F_3]$, tiver derivadas parciais primeiras contínuas num domínio *simplesmente conectado* D, logo a integral (1) independe do caminho em D (Seção 10.2).

Teoremas Integrais. A fórmula do teorema de Green no plano (Seção 10.4)

(2)
$$\iint_{R} \left(\frac{\partial F_2}{\partial x} - \frac{\partial F_1}{\partial y} \right) dx dy = \oint_{C} (F_1 dx + F_2 dy)$$

transforma **integrais duplas** sobre uma região *R* no plano *xy* em integrais de linha sobre a curva de contorno *C* de *R*, e vice-versa. Sobre outras formas de (2), veja a Seção 10.4.

Similarmente, a fórmula do teorema da divergência de Gauss (Seção 10.7)

$$\iiint_{T} \operatorname{div} \mathbf{F} \, dV = \iiint_{S} \mathbf{F} \cdot \mathbf{n} \, dA$$

transforma **integrais triplas** sobre uma região T no espaço em integrais de superfície sobre a superfície de limite S de T, e vice-versa. A fórmula (3) implica as **fórmulas de Green**

(4)
$$\iiint_T (f \nabla^2 g + \nabla f \cdot \nabla g) dV = \iint_S f \frac{\partial g}{\partial n} dA,$$

(5)
$$\iiint_T (f \nabla^2 g - g \nabla^2 f) dV = \iint_S \left(f \frac{\partial g}{\partial n} - g \frac{\partial f}{\partial n} \right) dA.$$

Finalmente, a fórmula do teorema de Stokes (Seção 10.9)

(6)
$$\iint_{S} (\operatorname{rot} \mathbf{F}) \cdot \mathbf{n} \ dA = \oint_{C} \mathbf{F} \cdot \mathbf{r}'(s) \ ds$$

transforma **integrais de superfície** sobre uma superfície S em integrais de linha sobre a curva de contorno C de S e vice-versa.